

# 碳素钢与合金钢的热处理

---

〔苏联〕 B·M·多罗宁 著

卢湘譯

中国工业出版社

# 碳素钢与合金钢的热处理

〔苏联〕B·M·多罗宁 著

卢湘译

中国工业出版社

本書闡述碳素鋼和合金鋼熱處理的理論原理、鋼的性能，缺點特性和最後檢驗及熔煉檢驗的方法。

本書供冶金工厂和金屬加工工厂的工程人員使用，也适于高等工业学校的学生使用。

В. М. Доронин  
ТЕРМИЧЕСКАЯ ОБРАБОТКА  
УГЛЕРОДИСТОЙ  
И ЛЕГИРОВАННОЙ СТАЛИ  
МЕТАЛЛУРГИЗДАТ Москва 1955

\* \* \*

碳素鋼与合金鋼的热处理

卢湘譯

(根据原冶金工业出版社纸型重印)

\*

冶金工业部科学技术情报产品标准研究所書刊編輯室編輯 (北京市西城區71号)

中国工业出版社出版 (北京佳麗商路丙10号)

北京市书刊出版业营业登记证字第110号

商标裝潢印刷三厂印刷

新华书店北京发行所发行·各地新华书店經售

\*

开本 850×1168 1/32·印张 12 5/8·字数 280,000

1959年8月北京第一版

1965年7月北京新一版·1965年7月北京第一次印刷

印数 0001~4,870·定价(科六) 1.60元

\*

统一書号: 15165·3238 (冶金-537)

# 目 录

<b>第一章 鋼中相变的一般特性</b>	1
1. 鐵碳合金状态圖	1
2. 鋼在加热时奧氏体的形成	2
3. 在加热时奧氏体晶粒的長大	3
4. 冷却时奧氏体的分解	5
5. 鋼在同火时的轉变	16
<b>第二章 鐵碳合金的合金元素</b>	18
1. 合金元素在鋼中的分布	18
2. 合金元素对鋼性能影响的一般特性	31
3. 鋼按組織的分类	48
<b>第三章 鋼錠的热处理</b>	58
<b>第四章 机械热加工的热制度对鋼組織和性能的影响</b>	70
<b>第五章 合金鋼的預先热处理</b>	79
1. 鋼的正火	79
2. 鋼的退火	80
3. 鋼的軟化同火（高温同火）	101
4. 冷拉用鋼的热处理	106
<b>第六章 鋼最后热处理的一般特性</b>	114
1. 鋼的淬火	114
2. 鋼的回火	122
<b>第七章 碳素鋼和合金鋼的性能与热处理</b>	126
1. 鋼在用途上的一般特征	126
2. 碳素工具鋼（ГОСТ1435—54）	130
3. 合金工具鋼（ГОСТ5950—51）	138
4. 高速鋼	155
5. 冲击工具用鋼（ГОСТ5950—51）	169

6. 錘鑽模具用鋼 .....	180
7. 調質結構鋼 .....	187
非滲碳用碳素結構鋼 (GOST1050—52) .....	194
調質合金結構鋼 (GOST4543-48) .....	200
8. 滲碳結構鋼 .....	243
9. 特种用途鋼 .....	248
滾珠軸承鋼 .....	248
磁鋼 .....	261
不銹鋼和耐酸鋼 .....	282
热穩鋼和耐热鋼 .....	315
高歐姆电阻的抗氧化合金 .....	324
石墨鋼 .....	330
<b>第八章 鋼質量的檢驗 .....</b>	<b>334</b>
1. 最后檢驗 .....	334
硬度的檢驗 .....	335
鋼的校直和尺寸檢驗 .....	335
表面缺陷的檢驗 .....	338
鋼号的檢驗 .....	344
近代探傷法 .....	361
特殊性能的檢驗 .....	368
2. 熔煉檢驗 .....	374
<b>附 彙 .....</b>	<b>381</b>
<b>參考文獻 .....</b>	<b>393</b>

# 第一章 鋼中相变的一般特性

## 1. 鐵碳合金状态圖

Fe- $Fe_3C$  系状态圖，使我們能够对鋼鐵在加热和冷却过程中内部發生的相变得到一般的概念（圖 1）。

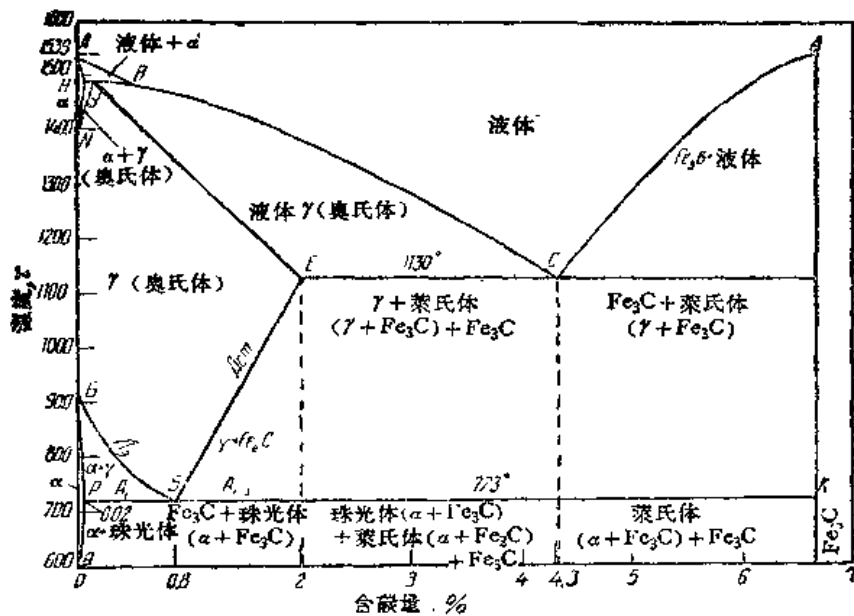


圖 1 鐵碳合金状态圖

在实际条件下，鋼是在与 Fe-C 状态圖中指出的稍有不同的条件下进行相变的。

下面簡單地講講鋼的几个主要轉化的特性。

## 2. 鋼在加热时奧氏体的形成

得到奧氏体乃是鋼热处理多数工艺过程的头一道工序。因而近来对于鋼在加热时的轉变的問題甚为重視。

加热时珠光体向奧氏体的轉变过程是一个純結晶过程，而轉变速度决定于奧氏体晶粒的产生速度和其長大速度。

温度愈高，则奧氏体晶粒的产生速度和長大速度愈大，因而体积轉变速度也就愈大。最初的那一部分奧氏体晶核，形成于珠光体区段中的鐵素体——滲碳体分界面处。成長着的奧氏体晶粒在其長大过程中吞併着碳化物質点，而后者則逐漸溶入奧氏体晶粒中去。

奧氏体形成過程的發展速度，是隨着原組織的分散程度的提高而增大的。粒状滲碳体轉入奧氏体中的過程进行得比片状滲碳体緩慢，因为片状滲碳体的分界面总面积比粒状滲碳体的大。这一点已為實驗所証實，它具有重要的实际意义。

奧氏体区段向鐵素体方面扩展的速度，总是超过碳化物溶入奧氏体的速度。因此，在已形成的奧氏体中保持有未溶解的碳化物質点，而加热速度愈大即珠光体被过热得愈高，则这种碳化物質点就愈多。繼續加热或等溫停留时，碳化物發生溶解，奧氏体中的碳濃度漸趋一致（固溶体的均匀化）。这两种過程都是扩散性的，并且温度愈高，停留時間愈長，則这两种過程进展得便愈快，愈完全。

在亞共析鋼和過共析鋼中，固溶体的均匀化過程比較难以进展，因为在普通加热条件下由于过剩鐵素体或过剩滲碳体的溶解，結果便使奧氏体保持有某种濃度梯度的不均匀性。

鋼中含有合金元素时，奧氏体的不均匀性还要增高。合金元素的影响，而特別是几种合金元素的共同影响，是極为复杂的，不可能用一般形式来表出。然而要时时注意，在合金鋼中得到均匀的固溶体，是与在加热温度下进行很長時間的停留過程分不开

的，这是由于扩散过程难以进展的缘故。

### 3. 在加热时奥氏体晶粒的长大

晶粒在金属温度升高时的长大过程是符合热力学第二定律的、自发的过程。根据热力学第二定律，任一系统都力求达到该系统在一定条件下的、最稳定（最可能）的状态。任一系统，其自由能为最小的状态，就是该系统的最稳定的状态。因此，在加热钢（传给系统以热能）时，钢中定要自发地发生力求使其自由能位下降的过程。晶粒的长大就是这样的过程，因为随着晶粒的长大，总表面积对该体积的相对值便减小，因而该系统表面能的储备量也减少。

因此，温度的升高要引起奥氏体晶粒的长大。

实际上已确定，不仅是化学成分不同的钢，甚至连同一牌号而炉次不同的钢也都具有加热时不相同的晶粒长大倾向性。有的钢在刚刚超过  $Ac_3$  点以后，其晶粒便迅速长大起来，而另一种钢却能把细小晶粒直保存到约  $1000-1100^{\circ}\text{C}$  的温度。因此就规定了关于本质细晶粒钢（不易过热）和本质粗晶粒（易过热）钢的概念。

这一问题的研究，得出了下述几个结论。

加热时奥氏体晶粒的成长的机构，归结起来是较大的晶粒吸收小晶粒。

奥氏体中是否存在能阻止晶粒互相“侵蚀”（поедание）的“隔壁”（барьер），是决定着钢晶粒长大倾向性的因素。无关相的夹杂物而特别是位于晶界处的夹复物，就是这样的隔壁。这类夹杂物愈分散，它们的数量愈多，它们在奥氏体体积中分布得愈均匀，则阻止晶粒长大的作用就愈大。借着使无关夹杂物转移到奥氏体中去或者使其团聚的方法消灭了这些隔壁，就会便利晶粒长大。

在加热钢时，发生和发展着下列几个过程。

由于在  $Ac_1$  点温度时發生珠光体轉变，結果便形成許多細小的奧氏体晶粒，因为在每一个珠光体晶粒里（在渗碳体——鐵素体晶界处）产生很多奧氏体結晶中心。在  $Ac_1-Ac_3$ （对于亞共析鋼）和  $Ac_1-Acm$ （对于过共析鋼）一段溫度間，过剩組成体（相应是鐵素体或渗碳体）向着固溶体中轉移，因此在加热到  $Ac_3$  和  $Acm$  溫度的过程中晶粒不長大，因为包围着奧氏体晶粒的渗碳体的質点或鐵素体的外壳，成阻止奧氏体晶粒長大的隔壁。繼續提高溫度，过剩組成体繼續溶解，便逐漸地消灭了阻止晶粒長大的隔壁，因此，在溫度高過  $Acm$  或  $Ac_3$  点时奧氏体晶粒便得到了繼續長大的可能性。

除去渗碳体相或鐵素体相的質点以外，在奧氏体中还存在有難以溶解的，所謂非金屬相的夾杂物，它們是煉鋼时脫氧的產物。这类夾杂物，除非它們在鋼中处于高度粉碎状态，才可能具有阻止奧氏体晶粒成長的作用。它們已团聚成較大的聚集物时，则对奧氏体晶粒長大傾向性就沒有重大影响了。

如果对事先在爐中以砂鐵和錳鐵脫过氧的鋼，为了不讓質点团聚起来而又直接在澆注之前用鋁进行了补充脫氧①，那么鋁的氧化物和氮化物 ( $Al_2O_3$ 、 $AlN$ ) 的質点在鋼中就可能处于高度粉碎状态。若遵守了这几个条件，则  $Al_2O_3$  和  $AlN$  質点就会以極其細小的（超显微級的）質点的形式析出，散布于鋼的整个体积中，它們就成为阻止晶粒長大的隔壁。这样的鋼不易产生过热而属于所謂的本質細粒鋼。而如果由于某种情況鋼的脫氧產物發生了团聚，则这样的鋼就易于發生晶粒長大而属于所謂的本質粗粒鋼②。

在液相中就已形成了的  $Al_2O_3$  和  $AlN$  非金屬夾杂物質点，具有很高的稳定性，大概只能部分地（主要是  $AlN$ ）并且只有在高

① 从爐中放鋼水时将鋁加到流鋼槽中或盛鋼桶中。

② 如果鋼在爐中的脫氧過程进行得不夠好，则在放鋼水时用鋁进行脫氧会得到已团聚起来的粗大夾杂物。用鋁对鋼进行脫氧以后，如果推迟了澆注時間，則夾杂物也会团聚。

溫下才能轉移到固溶體中。它們在加熱過程中團聚得異常緩慢，因為這類使固溶體比較累贅的質點 ( $\text{Al}_2\text{O}_3$  和  $\text{AlN}$ ) 扩散起來是很困難的。

因此，非金屬夾雜物與碳化物相和鐵素體相有所不同，它們直到很高的溫度 (1000—1100°C) 時還是穩定的隔壁，在加熱時奧氏體中是否存在有這類夾雜物，就基本上可以決定鋼在  $\text{Acm}$  和  $\text{Ac}_3$  點以上的溫度時晶粒長大的傾向性怎樣。

對於每一個溫度，從熱力學觀點來看，都存在着某一個穩定的晶粒尺寸。在圖 2 中用點線表出了本質粗粒鋼的粒度與溫度的關係，而用實線表出了本質細粒鋼的粒度與溫度的關係。從此圖可看出，在高溫時本質細粒鋼與本質粗粒鋼之間的差別就消失了，這時這兩種鋼實際的粒度將是一樣的。

可以為每個牌號的鋼規定出“過熱溫度”來，這號鋼的晶粒從該溫度開始便急劇地長大。共析鋼因超過  $\text{Ac}_1$  點以後其中沒有无关相，所以最易過熱。對於亞共析鋼和過共析鋼，過熱溫度位於  $\text{Ac}_3$  和  $\text{Acm}$  以上，也就是說，這兩種鋼的晶粒只有在无关相消失了以後才有可能長大。

除錫以外，所有的合金元素——鈷、鉬、釩、鉻、鈦等，都能降低鋼的過熱傾向性。

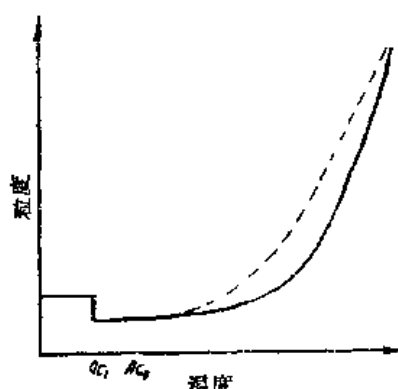
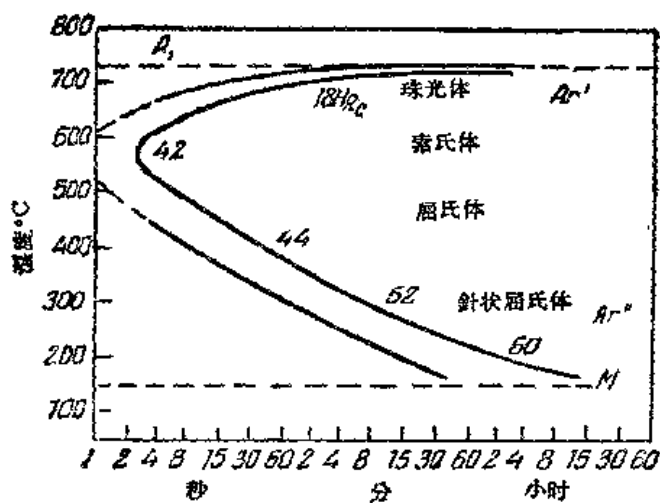


圖 2 奧氏體的粒度與加熱溫度的關係（簡圖）

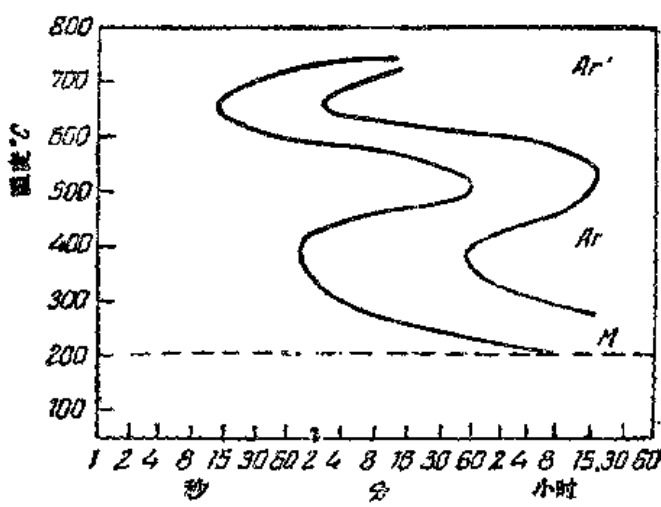
實線——本質細粒鋼；點線——本質粗粒鋼

#### 4. 冷却時奧氏體的分解

加熱鋼到臨界點以上，形成了奧氏體，則鋼熱處理的第一階段已告完成。隨後從奧氏體狀態冷卻到常溫的過程，乃是決定着



a



b

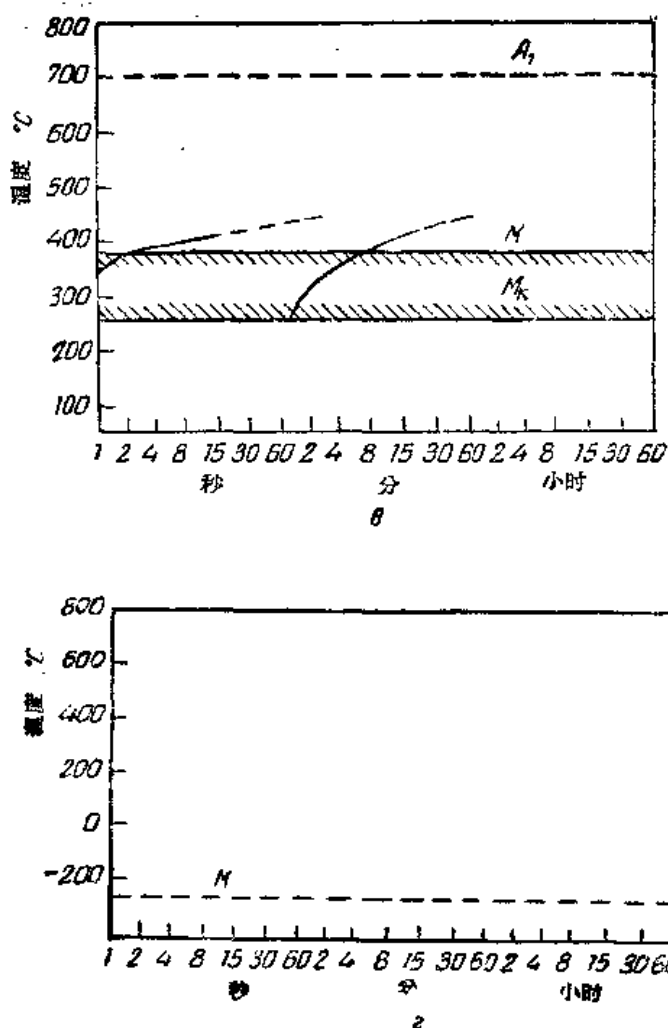


圖 3 奧氏体等溫分解曲線  
 a—Y12 碳鋼 (C 1.14%、Mn 0.22%、Si 0.16%) 的過冷奧氏體 C 形等溫分解曲線。曲線右側的數字表示轉變產物的硬度；b—含有碳化物形成元素的合金鋼的奧氏體 C 形等溫分解曲線（簡圖）；  
 b—18XHBA 号馬氏體類鋼 (C 0.18%、Cr 1.5%、Ni 4.3%、W 1% 或 Mo 0.35%) 的奧氏體等溫分解曲線 (A. П. 古里亞耶夫和 З. В. 季亞康諾娃(187))；c—奧氏體類鋼的簡圖

热处理产品組織和性能的重要工序。

在实际条件下，奥氏体是在多少过冷了一些的条件下进行分解的，而过冷程度則依鋼的冷却速度为轉移。

奥氏体的轉变，依着温度的不同，可能有两种不同的形式，按其特性，它們有着原則上的区别。

在馬氏体点M以上时，奥氏体的分解有着扩散特性，而分解的产物是鐵素体-滲碳体混合物。

在M点以下时，發生奥氏体向馬氏体的非扩散轉变，同时只有晶格类型發生了变化，而固溶体濃度不变。因而，固溶体在馬氏体轉变时不發生分解[4, 5, 6, 7]。

过冷奥氏体在下临界温度間段中的分解过程，可以用奥氏体等温分解綫圖来表述，現将其例列入圖 3 中。

圖 3<sup>a</sup> 曲綫是碳素工具鋼典型的奥氏体等温分解曲綫，这种鋼的特性是，奥氏体在 550°C 左右的温度时的稳定性是極其低的。奥氏体的稳定性隨着温度的繼續降低是不斷增高的，一直到馬氏体点M。低于M点时，便發生馬氏体轉变。

含有那些不形成碳化物的元素（鎳、錳①、硅、鋁、鈷）的合金鋼，具有原則上类似于圖 3<sup>a</sup> 等温分解曲綫圖。

从鎳鋼、錳鋼、矽鋼和鋁鋼的奥氏体等温分解曲綫圖（圖 4）可以看出，鎳和錳强烈地提高奥氏体稳定性并且使最大轉变速度区带移向低温区域。矽和鋁在較小程度上提高奥氏体稳定性。鈷能降低奥氏体稳定性。

圖 3<sup>b</sup> 中的是有一个稳定性較高的中間区带（600—400°C）的第二种形式的奥氏体等温分解曲綫，它表示了含有碳化物形成元素（鉻、釩、鋸、鎢）的合金鋼的特性。所有这几种元素都使分解速度最高的上区带的位置移向高温方面。圖 5 中列入的是鉻鋼、鋸鋼、鎢鋼和釩鋼的奥氏体等温分解曲綫。

① 錳形成很不稳定的碳化物，实际上錳完全在于固溶体中。

經過細致地研究了奧氏体的轉變速度與溫度的關係，查明了就是碳鋼也有第二個最大點，約在  $350^{\circ}\text{C}$ 左右（圖6）。目前對於奧氏体等溫分解曲線中產生第二最大點的原因尚未確切地弄清楚。

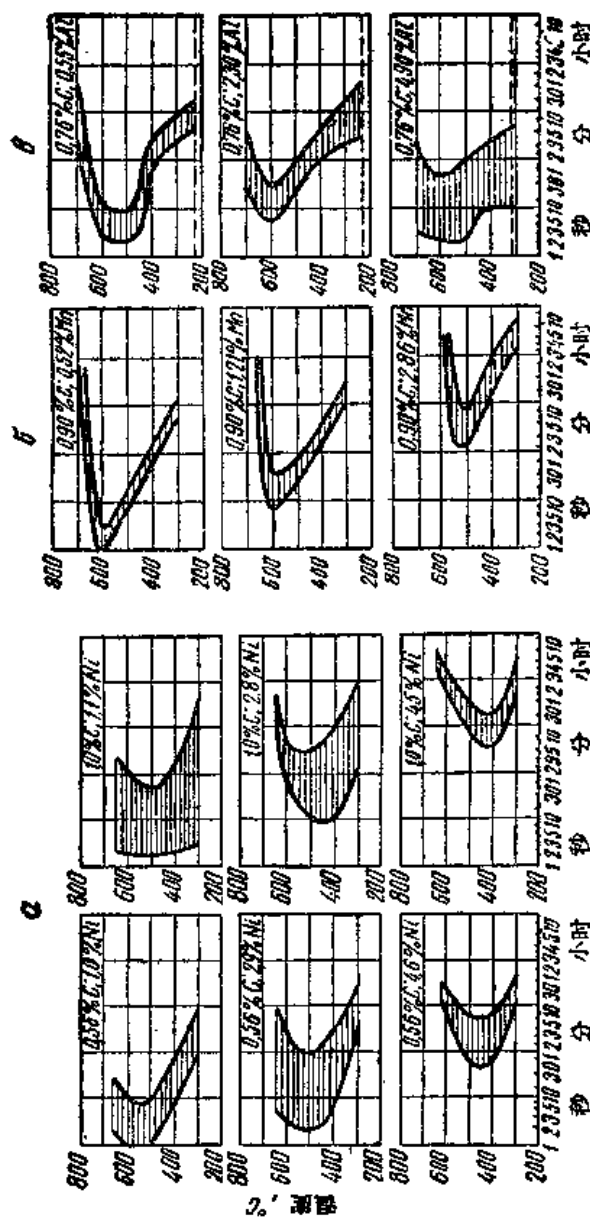
根據 B. A. 薩多夫斯基[8]的意見，兩個最大點的存在乃是奧氏体等溫分解曲線圖的一個不可分割的特點。在上溫度區域，碳化物是奧氏体分解時的主要相，分解產物是片狀結構的、分散程度不同的鐵素體-碳化物混合物（珠光體、索氏體、屈氏體）（ $\text{Ar}'$ ——轉變）。在下溫度區域，鐵素體是主要相，同時形成針狀結構的鐵素體-碳化物混合物（針狀屈氏體）。這一中間性的轉變過程（ $\text{Ar}''$ ——轉變）本身兼有著珠光體轉變和馬氏體轉變的某些特點。

根據 B. A. 薩多夫斯基[8]的意見，某些曲線圖之所以沒有第二最大點，是由於兩個過程的溫度間段重合起來了，或者是由於這兩個過程之一因某種原因受到困難而未能表現出來。

H. H. 西羅達[9]認為，難以存在第二最大點的那一種形式的C形曲線是析出相中某一相的成分（有時是組織）發生變化的結果。其中，他們試驗的鉻鋼（C1.0%和Cr自0%到3%）存在着兩個最大點，是由於析出碳化物的成分依過冷奧氏体分解溫度的改變而發生了變化。

如果同時用幾種元素使鋼合金化，那麼等溫轉變曲線圖從奧氏體穩定性的大小上和從外形上都和只用一種元素加在鋼中時所得到的有很大的區別。例如，某幾種鋼的最大轉變速度點能夠向右移得很遠，以致實際上完全不存在了，而在圖中只剩下向針狀屈氏體轉變的中間轉變（ $\text{Ar}''$ ——轉變）和馬氏體轉變。圖3b中的18XHBA號鉻鎳錳鋼的曲線圖就是這一種形式的等溫分解曲線的典型例子。

鋼中若含有大量像鎳和錳這類元素，而特別是配合有鎳的時候，就會使得 $\text{Ar}'$ 和 $\text{Ar}''$ 轉變消失，而使馬氏體點位於比  $0^{\circ}\text{C}$ 低得很多的地方（圖3r）。在這種情況下，奧氏體在高於和低於室溫



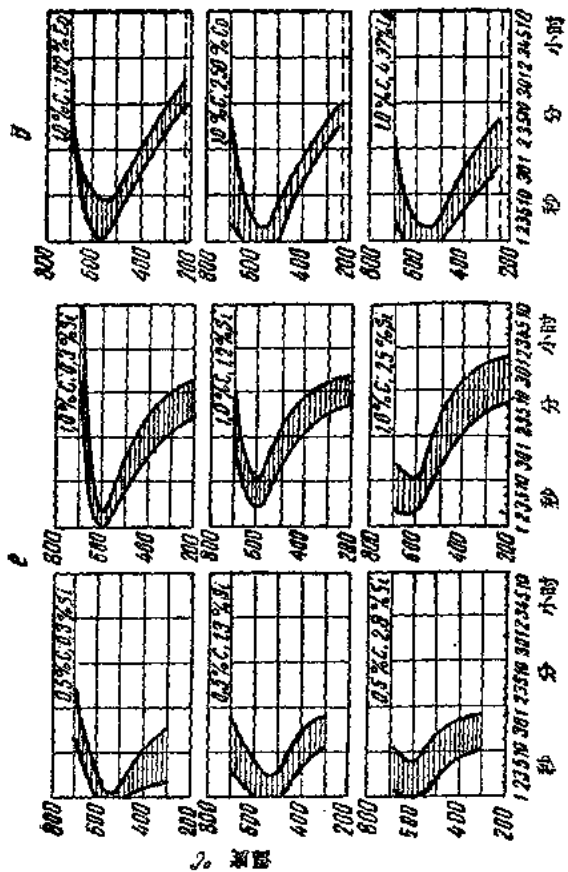


圖 4 奧氏體等溫分解曲線 (B.H. 久津[12])

a—鎳鉬；b—鎢鋼；r—钒鋼；z—鉻鋼

